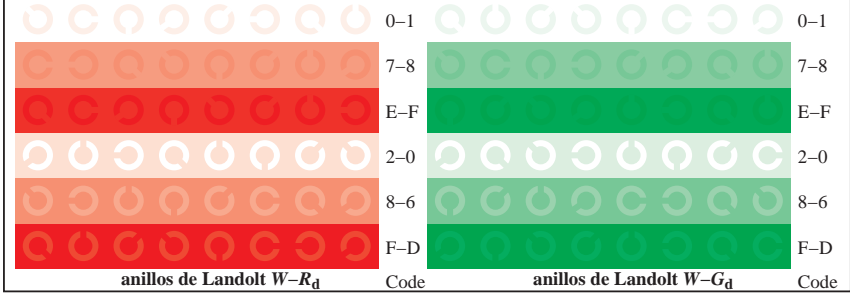


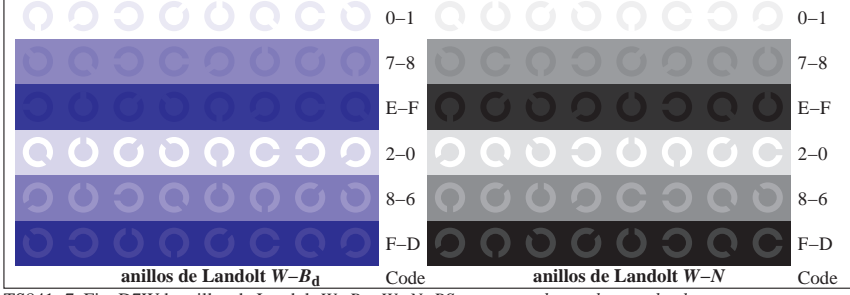
TS841-1, Fig. D4Wd: 16 equidistant steps  $W-R_d; W-G_d; W-B_d; W-N$ ;  $rgb/cmy0 \rightarrow rgb_d$  setrgbcolor

+-.: Q	O	C	O	C	O	I	mn	O	C	O	C	O	pqr	O	C	O	O	uvw	O	C	O	O
xyz;	O	O	O	O	O	i	jk	O	C	O	C	O	lmn	O	C	O	O	pqr	O	C	O	O
tuvw	O	O	O	O	O	d	fg	O	O	O	O	O	ijk	O	O	O	O	ijk	O	O	O	O
pqrs	O	O	O	O	O	!	abc	O	O	O	O	O	+-.:	O	O	O	O	+-.:	O	O	O	O
lmno	O	O	O	O	O			O	O	O	O	O	xyz;	O	O	O	O	xyz;	O	O	O	O
hijk	C	C	C	C	C			O	O	O	O	O	tuvw	O	O	O	O	tuvw	O	O	O	O
defg	O	O	O	O	O			O	O	O	O	O	defg	O	O	O	O	defg	O	O	O	O
!abc	O	O	O	O	O			O	O	O	O	O	!abc	O	O	O	O	!abc	O	O	O	O
													6	N	R_d G_d B_d Z							
													8	N	R_d G_d B_d Z							
													10	N	R_d G_d B_d Z							

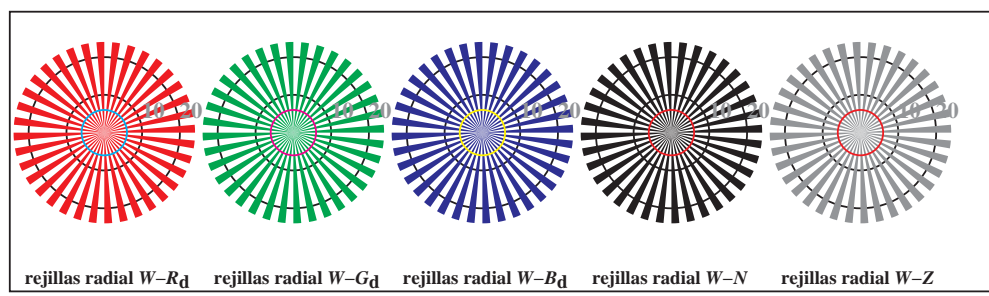
TS841-3, Fig. D5Wd: code and Landolt annulus N;  $R_d; G_d; B_d; Z$ ; PS operator  $rgb \rightarrow rgb_d$  setrgbcolor



TS841-5, Fig. D6Wd: annulus of Landolt  $W-R_d; W-G_d$ ; PS operator  $rgb \rightarrow rgb_d$  setrgbcolor



TS841-7, Fig. D7Wd: annulus of Landolt  $W-B_d; W-N$ ; PS operator  $rgb \rightarrow rgb_d$  setrgbcolor



rejillas radial  $W-R_d$  rejillas radial  $W-G_d$  rejillas radial  $W-B_d$  rejillas radial  $W-N$  rejillas radial  $W-Z$

TS840-5, Fig. D2Wd: radial grids  $W-R_d; W-G_d; W-B_d; W-N$ ; PS operator  $rgb \rightarrow rgb_d$  setrgbcolor



TS840-7, Fig. D3Wd: CIE 14 colors of the test y 2 + 16 steps of gray (sf);  $rgb/cmy0 \rightarrow rgb_d$  setrgbcolor